

An infinite phase-size BMAP/M/1 queue and its application to Secure Communication

豊泉 洋

早稲田大学 大学院会計研究科

toyoizumi@waseda.jp

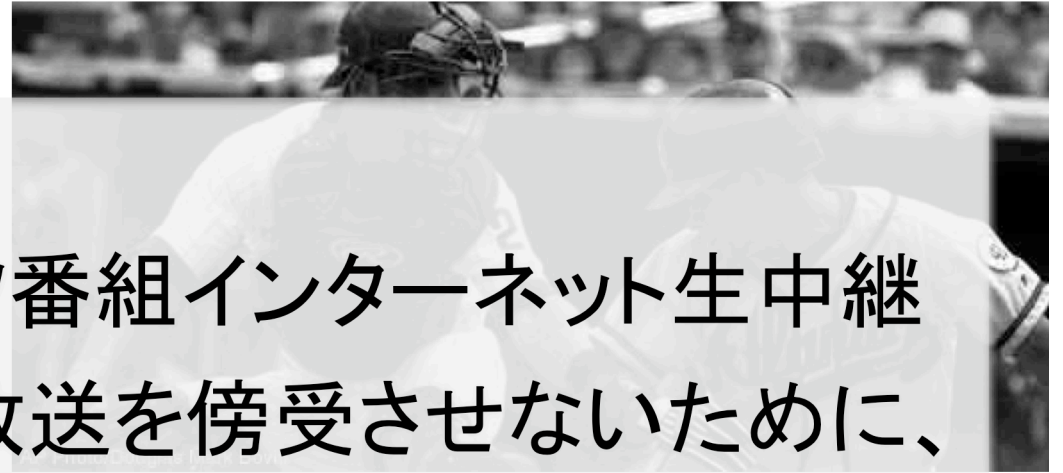


なぜグループで？

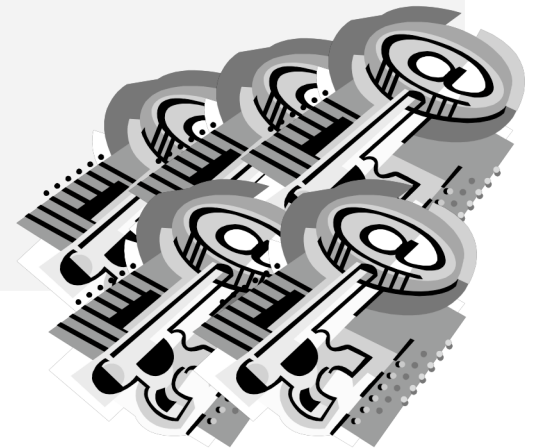
- コミュニティーを作って自由に通信
 - 特定のグループ内の通信においても暗号化が必要
 - 人気番組のインターネット上での有料配信
 - 企業内の秘密情報のネットワークでの共有



スポーツリアルタイム社

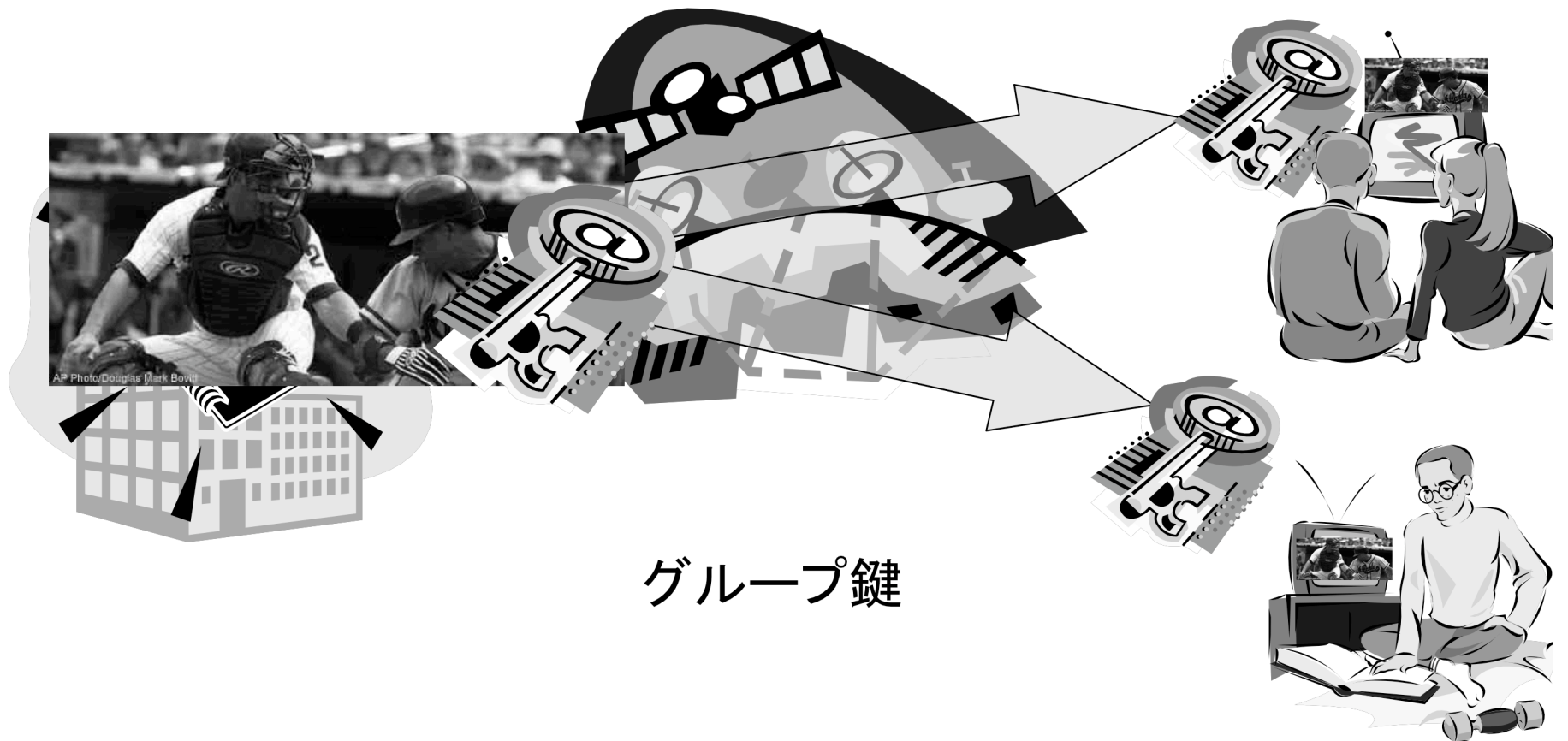


- 1万人の顧客
- 有料でスポーツ番組インターネット生中継
- 不正な手段で放送を傍受させないために、1万人へ暗号化されたデータを送信する。
- 1万個の鍵で別々に暗号化？



グループ鍵

- グループ共通の鍵でデータを暗号化

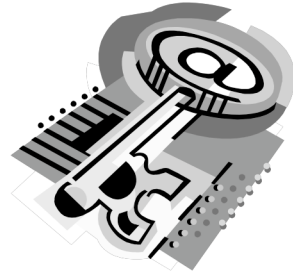


グループ鍵の問題点

- 参加・脱退
 - スポーツ番組の生中継は、
 - 途中から見たいと言ってくる人
 - つまらないから見るのを止めるという人
- 悪意のユーザー
 - 最初に鍵を受け取る
 - 途中から見るのを止めると言う
 - 最初に手に入れた鍵を使って無料でスポーツ番組をみる。
- 参加・脱退時にグループ鍵の更新が必要！

グループセキュリティ通信 の方式

- Wong [6]、RFC2627 [4]の方法

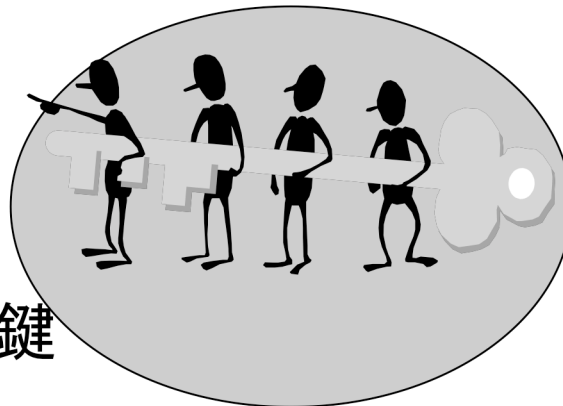


グループ鍵

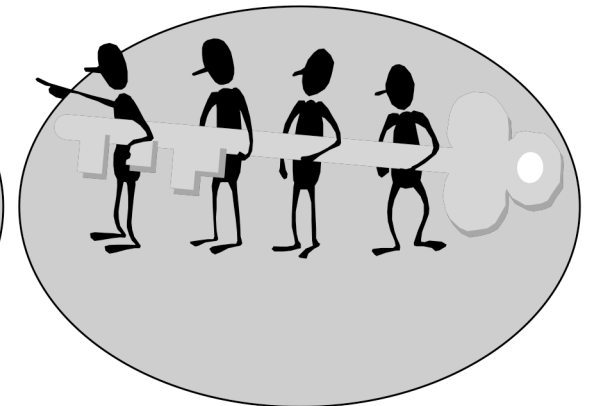
Subgroup



Subgroup



Subgroup



生中継の準備

15人のユーザーへの生中継



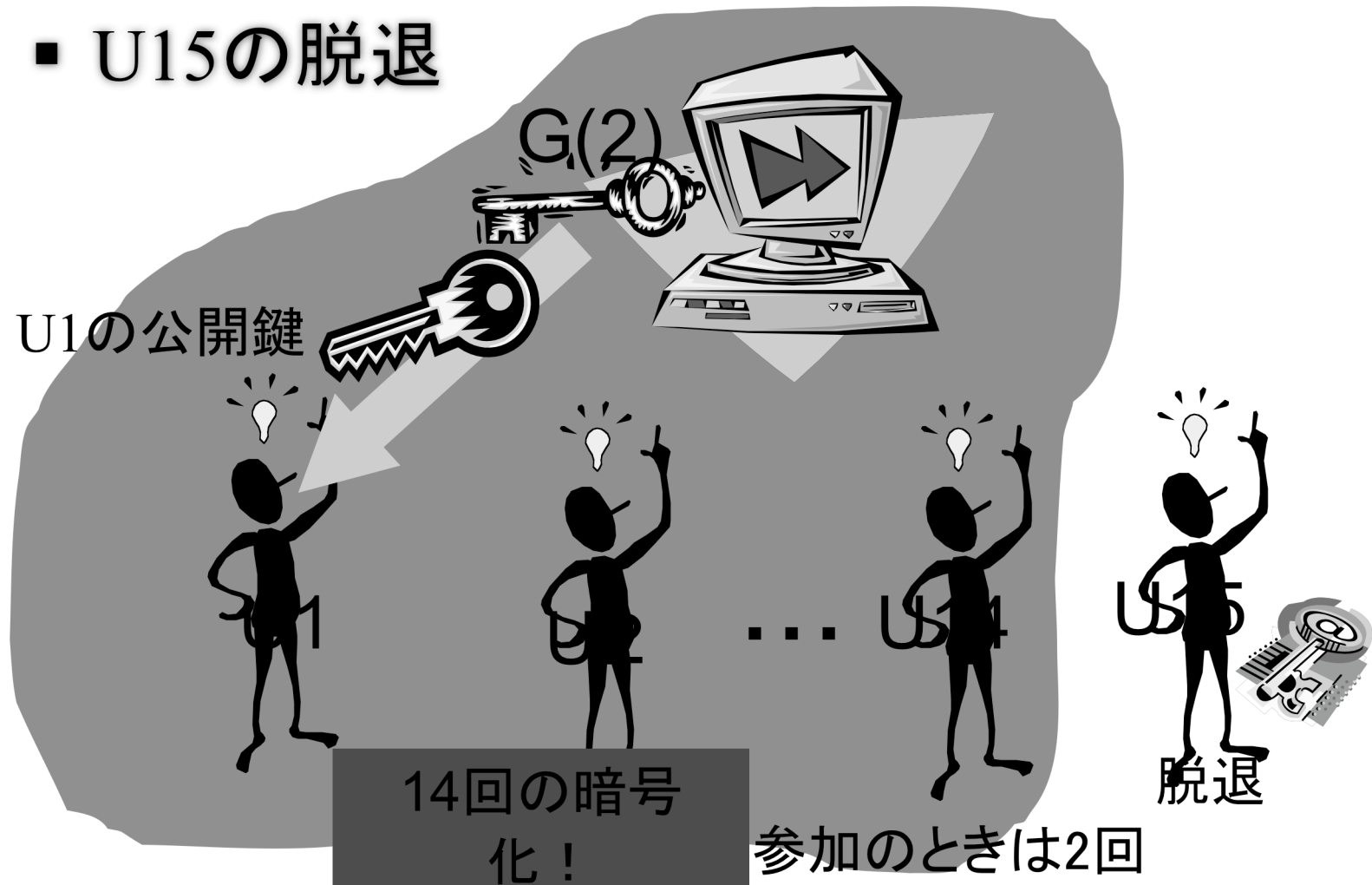
グループ鍵G(C

鍵サーバー



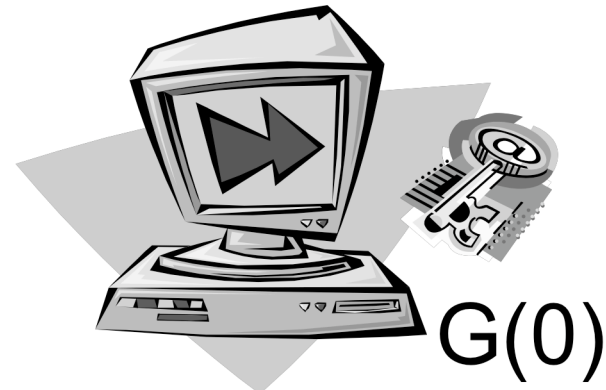
サブグループ無しの場合

■ U15の脱退



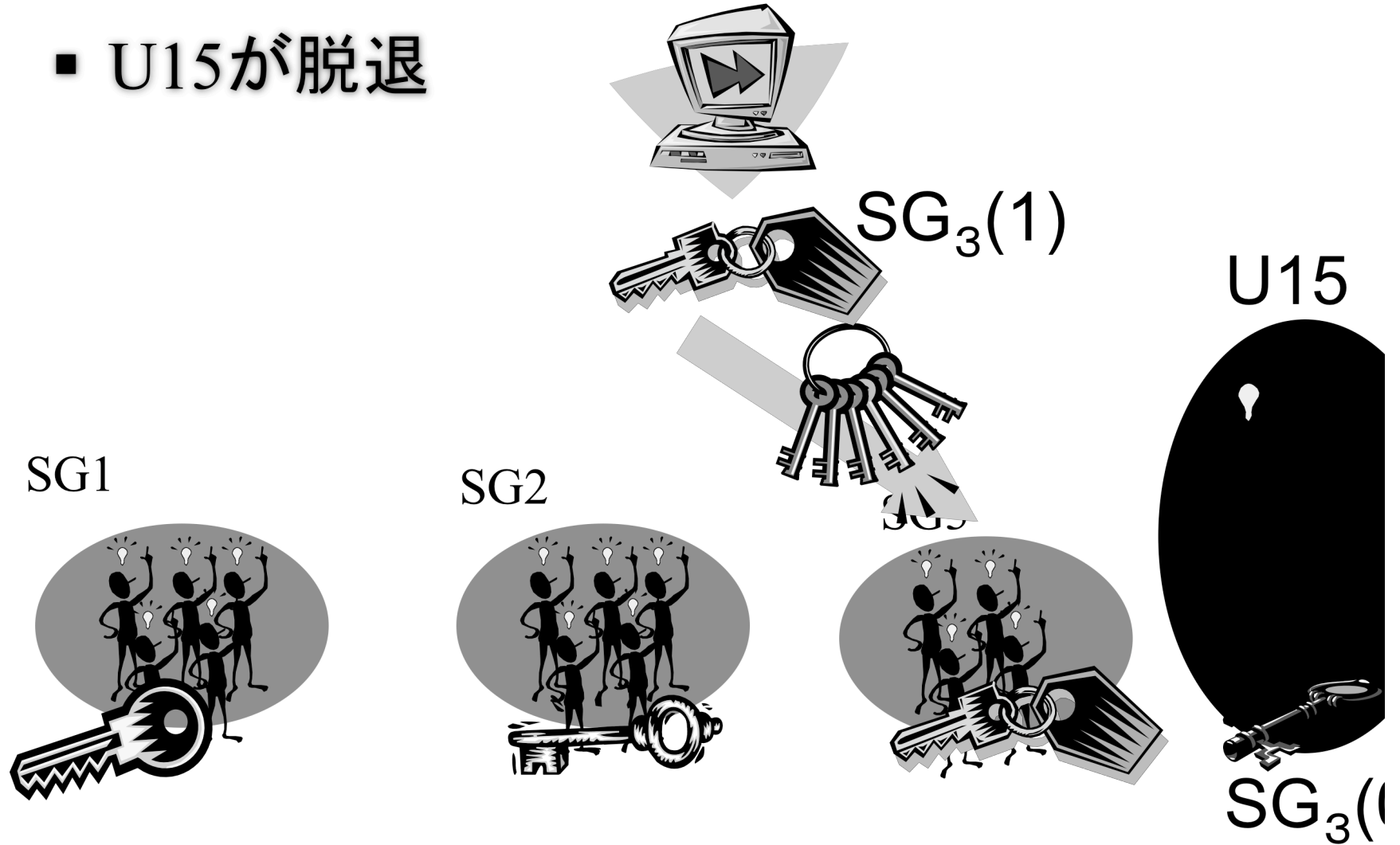
サブグループピング

- サブグループが3つ



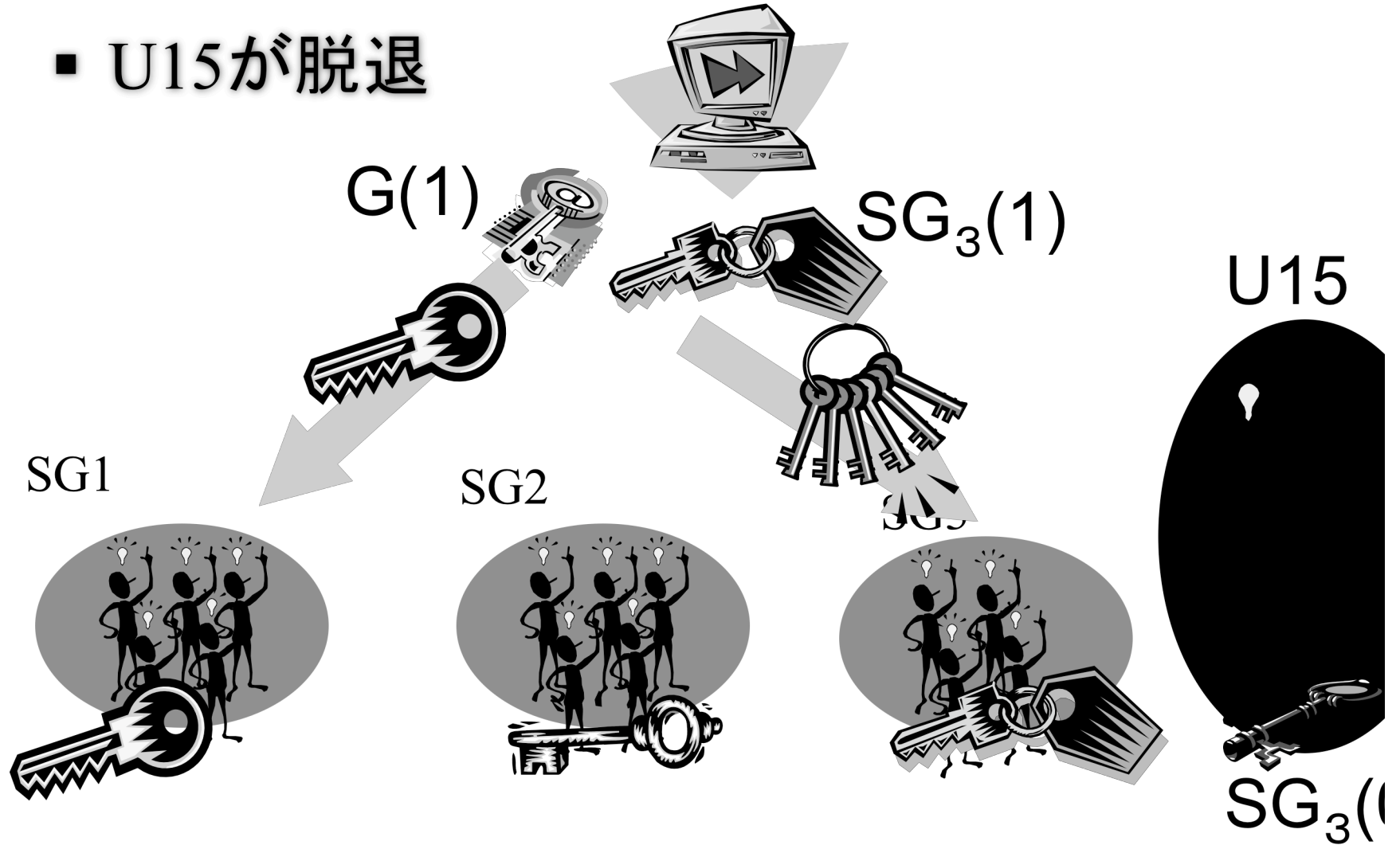
脱退

- U15が脱退



脱退

- U15が脱退



脱退

- U15が脱退

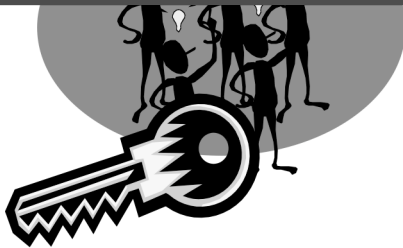
G(1)



SG₃(1)

U15

暗号化回数は7回で済む！
(脱退時のサブグループ内的人数に依存)



SG₃(1)

サブグループと暗号化回数

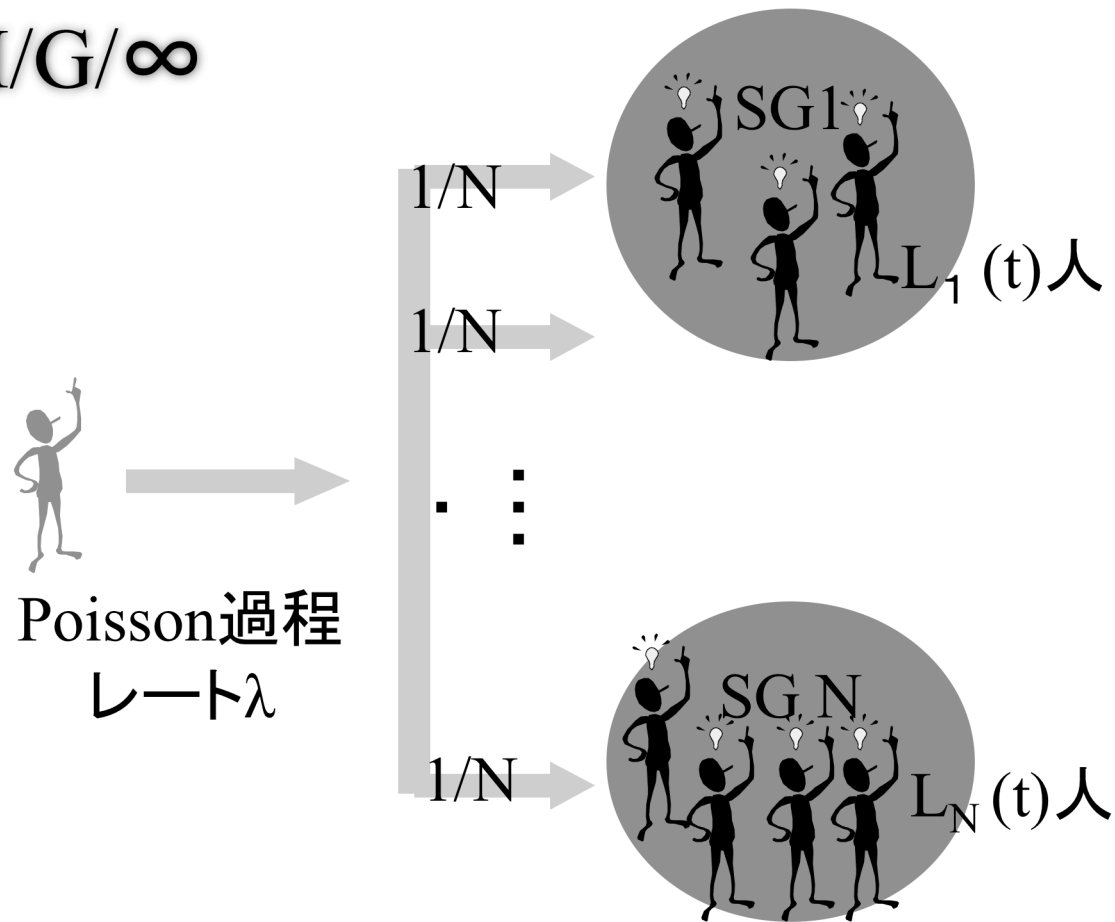
- ユーザが脱退・参加した場合のグループ全体の暗号化の回数

方式	A15 (U15 脱退)	B16 (U16 参加)	合計
サブグループ無し	14	2	16
サブグループ有り	7	4	11

脱退の時間が問題！

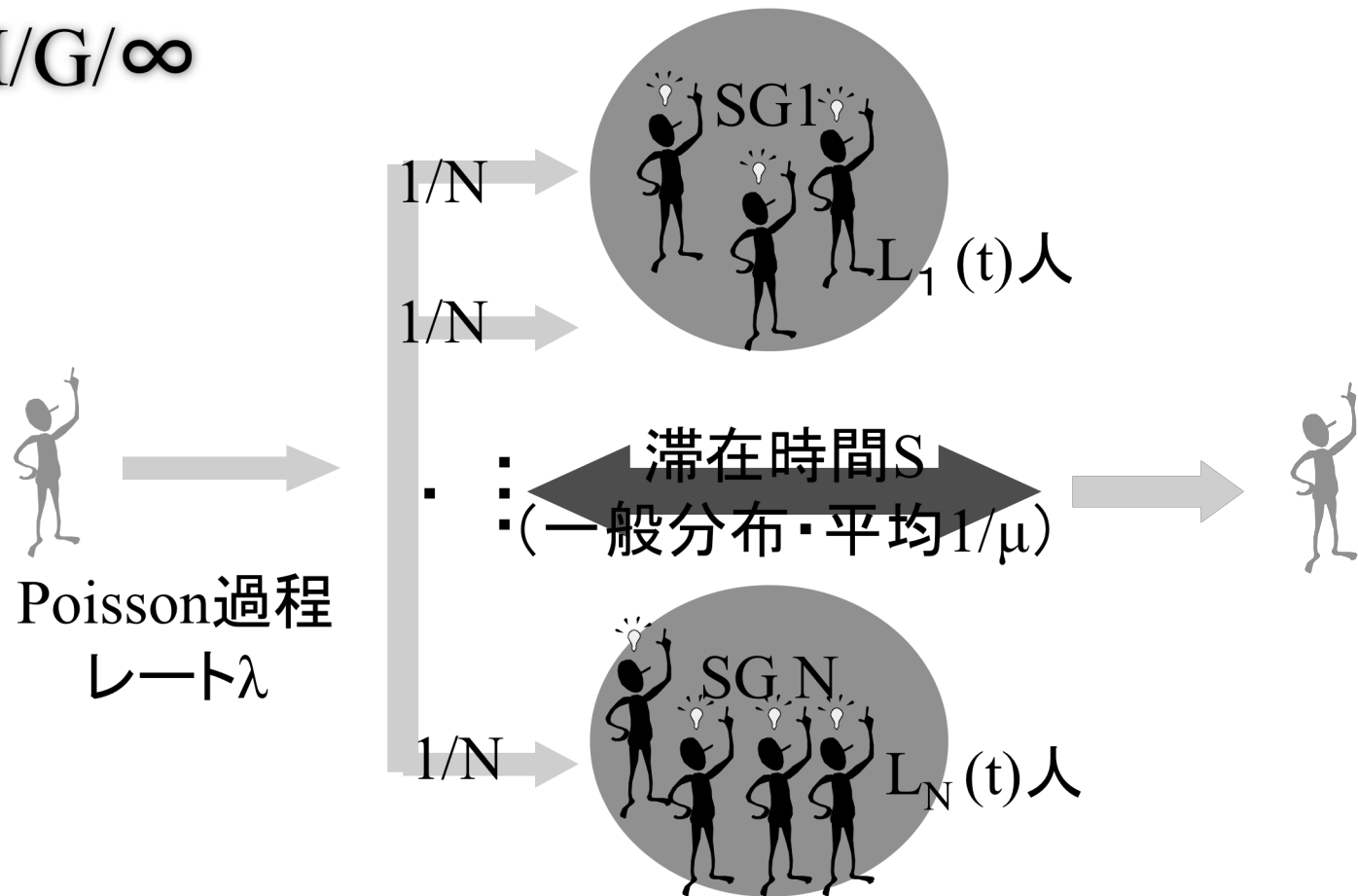
グループセキュリティ通信の待ち行列モデル (Poisson arrival)

■ M/G/∞



グループセキュリティ通信の待ち行列モデル (Poisson arrival)

■ M/G/∞



最適なサブグループ数 (Poisson arrival)

- 暗号化回数が最小になるサブグループ数は

平均のユーザー数の平方根!

$$N^{min} = \left(\frac{\lambda}{\mu}\right)^{1/2} = (E[L(t)])^{1/2}.$$

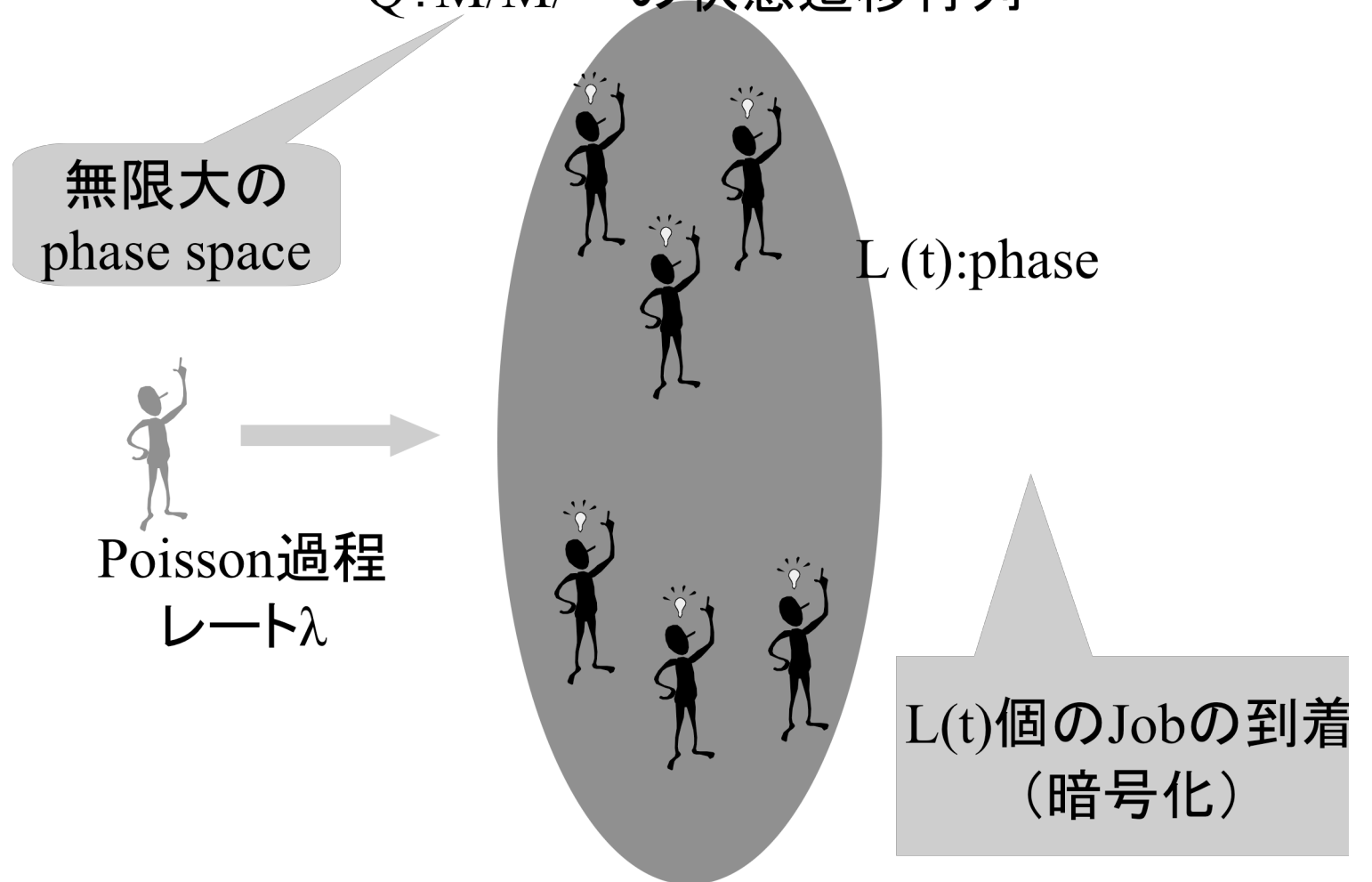
- H. Toyoizumi and M. Takaya, JORSJ, Vol. 47, No. 1, 38-50, 2004

暗号化回数の分布は？

- 暗号化回数の平均は、初等的な方法で求めることができた。
- 暗号化回数が多くなることがある場合には、その処理にかかる時間内でセキュリティが甘くなっている。
- より厳密な解析が必要

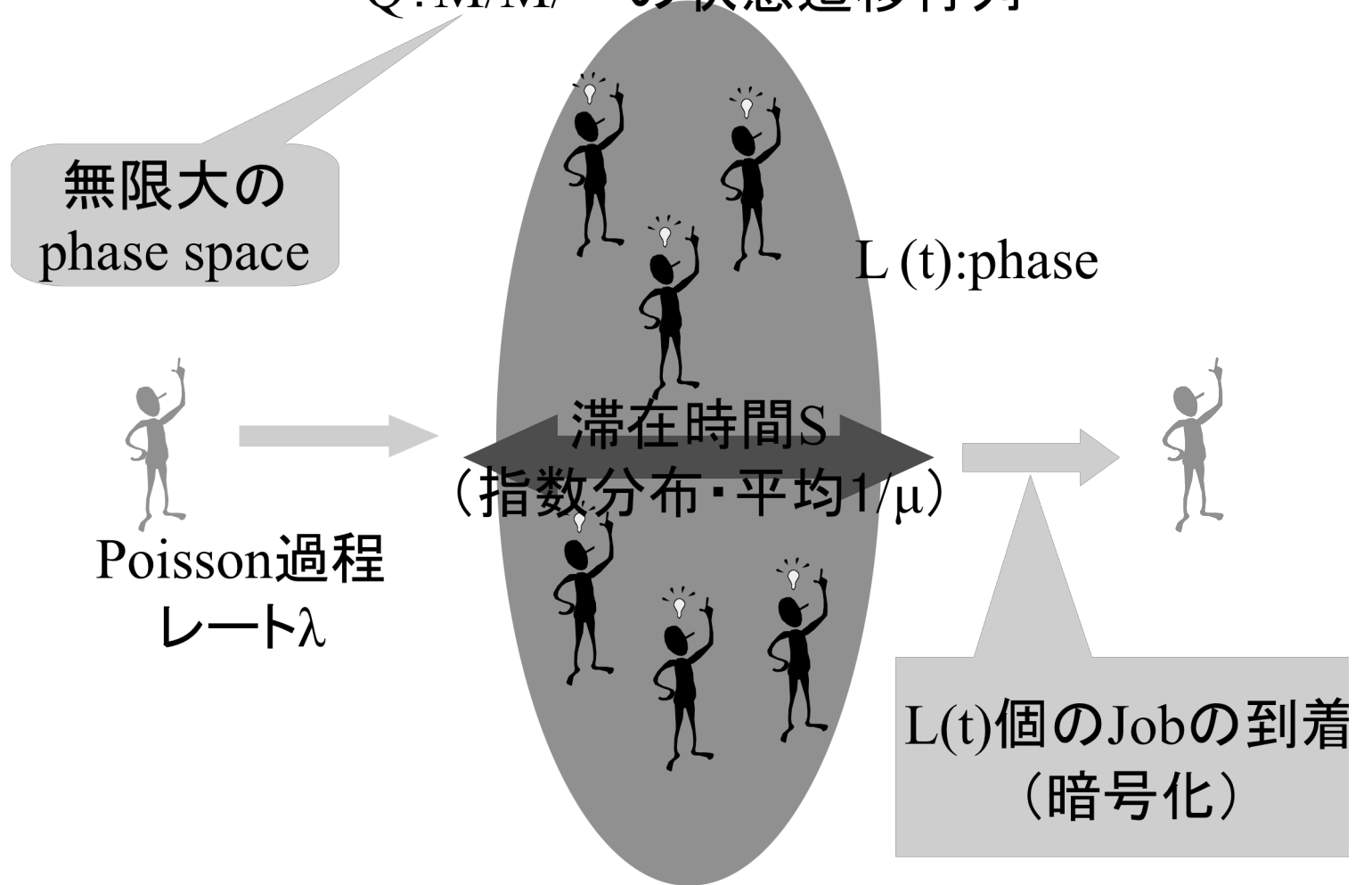
BMAP/M/1 Queueing Model

Q:M/M/ ∞ の状態遷移行列

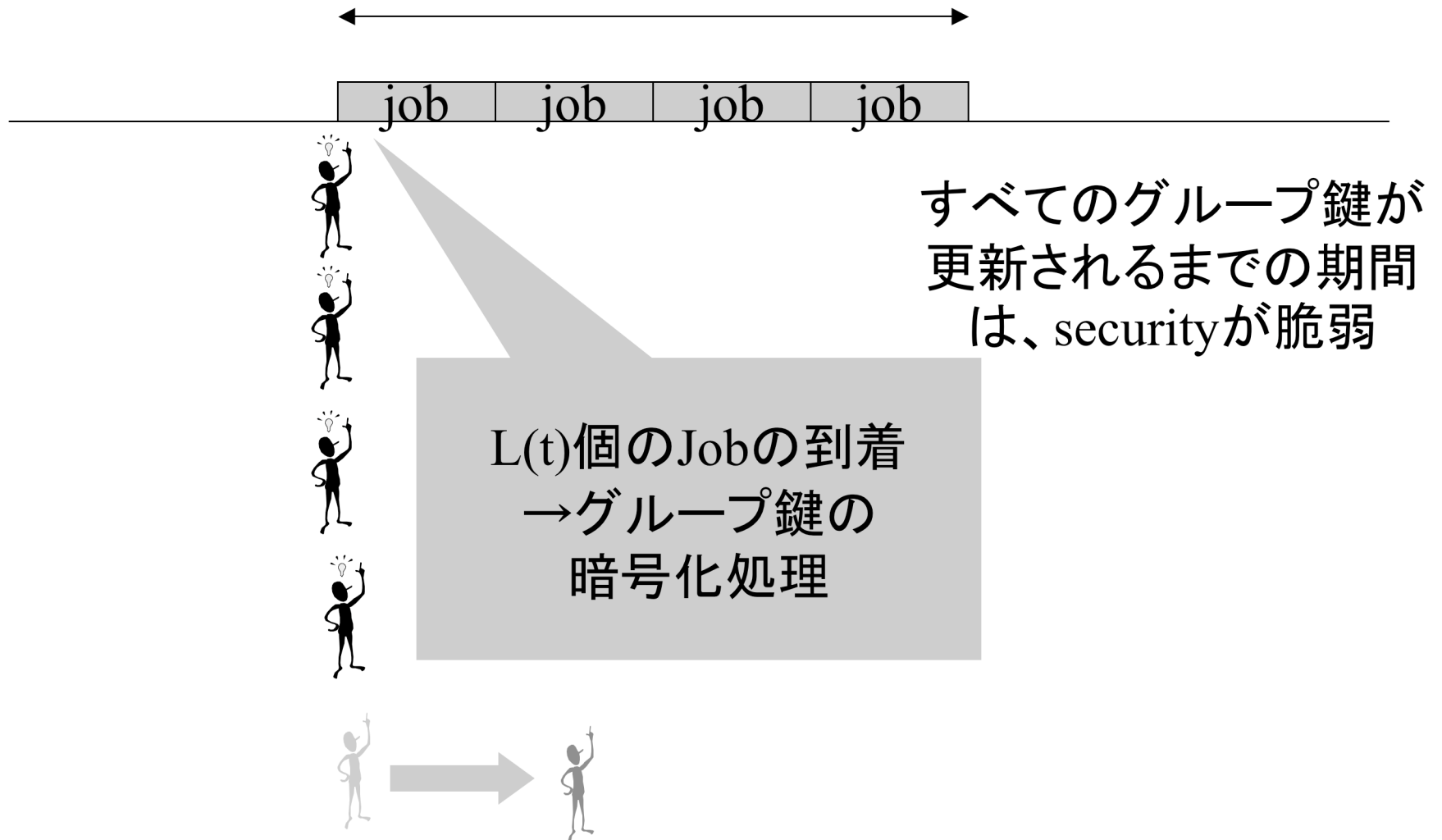


BMAP/M/1 Queueing Model

Q:M/M/ ∞ の状態遷移行列



Degradation of security



Notations

- $L(t)$: the number of customers in the group,
- $M(t)$ be the number of jobs in the system (key encryption server) at time t .
- $X(t) = (L(t), M(t))$ is a Markov process.
- $\pi_{\{l,m\}} = P[L = l, M = m]$

$$\pi_m = (\pi_{m0}, \pi_{m1}, \dots).$$

$$\pi = (\pi_0, \pi_1, \dots) = (\pi_{00}, \pi_{01}, \dots, \pi_{10}, \pi_{11}, \dots, \pi_{m0}, \pi_{m1}, \dots).$$

Steady State Equation

- $\pi Q = 0$, where Q is the infinitesimal generator of the Markov Process $X(t) = (L(t), M(t))$.

$$Q = \begin{pmatrix} D_0 & D_1 & D_2 & D_3 & \dots \\ \sigma I & D_0 - \sigma I & D_1 & D_2 & \dots \\ & \sigma I & D_0 - \sigma I & D_1 & \dots \\ & & \sigma I & D_0 - \sigma I & \ddots \\ & & & \ddots & \ddots \end{pmatrix}.$$

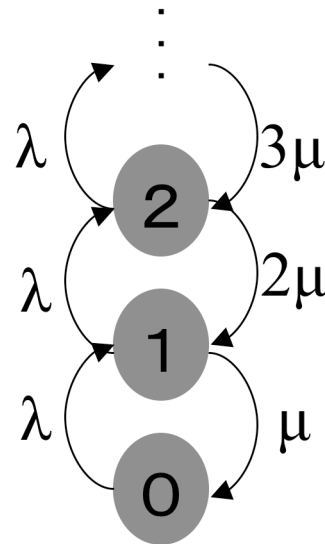
$$D_l = \begin{pmatrix} & & & l \\ & & & \vdots \\ \dots & & (l+1)\mu & \end{pmatrix}.$$

$$D_0 = \begin{pmatrix} -\lambda & \lambda & & & \\ \mu & \lambda - \mu & \lambda & & \\ & & -\lambda - 2\mu & \lambda & \\ & & & \ddots & \ddots \end{pmatrix}.$$

Phase transition

$\mathbf{D} = \sum_{l=0}^{\infty} \mathbf{D}_l$: the generator of the phase transitions, is the infinitesimal generator of an M/M/ ∞ queue, and its stationary probability vector is Poisson distribution with its mean λ/μ .

$L(t)$: phase, the number of customers in the group.



Z-transform and stationary equation

- $\mathbf{\Pi}(z) = \sum_{m=0}^{\infty} z^{m} \boldsymbol{\pi}_m.$:z-transform of stationary vector.

- Stationary equation

$$\sigma \left(1 - \frac{1}{z}\right) \boldsymbol{\pi}_0 + \mathbf{\Pi}(z) \left\{ \mathbf{D}(z) - \left(1 - \frac{1}{z}\right) \sigma I \right\} = \mathbf{0},$$

$$\mathbf{D}(z) = \begin{pmatrix} -\lambda & \lambda & & & \\ \mu & \lambda - \mu & \lambda & & \\ & 2z\mu & -\lambda - 2\mu & \lambda & \\ & & 3z^2\mu & -\lambda - 3\mu & \lambda \\ & & & \ddots & \ddots & \ddots \end{pmatrix}.$$

Double z-transform

z: jobの変数

$$\pi(z, y) = \sum_{l=0}^{\infty} y^l \Pi_l(z) = \sum_{l,m} z^m y^l \pi_{l,m} = E[z^M y^L].$$

:double z-transform of stationary vector

y: phaseの変数

$\pi(0, y)$: M=0とphaseの同時分布

$\pi(1, y)$: phaseの周辺分布

Linear operator calculus

$f(y) = \sum_{j=0}^{\infty} f_j y^j$ formal power series.

The linear operator U corresponding to a matrix \mathbf{U} by

$$[Uf](y) = \sum_{i,j} f_i [\mathbf{U}]_{ij} y^j.$$

The linear operator for $D(z)$:

$$[D(z)f](y) = \mu f_y(zy) + \lambda y f(y) - \lambda f(y) - \mu y f_y(y).$$

$$[D(1)f](y) = \mu(1-y)f_y(y) - \lambda(1-y)f(y).$$

Phase 遷移の
オペレーター

Differentiation by parts

- 合成関数の微分の公式

$$\frac{\partial}{\partial z}[U(z)f(z)](y) = \frac{\partial}{\partial z} \left\{ \sum_{i,j} f_i(z)[U(z)]_{ij}y^j \right\} = [U'(z)f(z)](y) + [U(z)f_z(z)](y).$$

$$f(z, y) = \sum_j f_j(z)y^j.$$

Theorem 1.

- The double z-transform of the stationary probability $\pi(z, y)$ should satisfy the following equation:

$$\sigma \left(1 - \frac{1}{z}\right) \{\pi(0, y) - \pi(z, y)\} + [D(z)\pi(z)](y) = 0,$$

$$[D(z)\pi(z)](y) = \mu\pi_y(z, zy) + \lambda y\pi(z, y) - \lambda\pi(z, y) - \mu y\pi_y(z, y).$$

$\pi(1, y) = e^{\Delta(y-1)}$: phase \mathcal{O} marginal distribution

$$[D(1)\pi(1)](y) = 0.$$

Utilization

- $\rho = P[M > 0]$: 使用率

$$\rho = \frac{\lambda^2}{\sigma\mu} = \frac{1}{\sigma}\lambda E[L]$$

到着率×平均客数

Operator A and its inverse

- $[Af](y) = [D(1)f](y) + f(1)\pi(1, y)$
- Inverse of A

$$[A^{-1}g](y) = \pi(1, y) \left\{ g(1) - \int_y^1 \frac{g(u)e^{-\frac{\lambda}{\mu}(u-1)} - g(1)}{\mu(1-u)} du \right\}$$

u=1に見かけ上の特異点

$$\lim_{u \rightarrow 1} \frac{g(u)e^{-\frac{\lambda}{\mu}(u-1)} - g(1)}{\mu(1-u)} = \frac{g'(1) - \frac{\lambda}{\mu}g(1)}{-\mu}$$

- $\pi(1, y) = e^{\mu(y-1)}$ is the fixed point of the operator A

Theorem 3

- The mean queue length of encryption jobs $E[M]$ can be obtained by

$$E[M] = \frac{\rho}{1-\rho} + \frac{1}{\sigma(1-\rho)} \left\{ \sigma^2 \rho^2 + \frac{1}{2} [D''(1)\pi(1)](1) - \sigma [D'(1)A^{-1}\pi(0)](1) - [D'(1)A^{-1}D'(1)\pi(1)](1) \right\}$$

形は複雑に見えるが、
通常のBMAP/M/1と同形

Matrix analysis

1. 基本行列 G が満足する行列方程式をみつける。
2. その方程式を使って G をiterationで求める。
3. G の定常分布を求める。
4. 系内容数定常分布の導出。
5. A にあたる行列の逆行列を求める。
6. モーメントの計算

問題点

- Group Securityのモデルは、phaseがM/M/ ∞ である。そのため、Gに相当するのが、operatorになってしまう。
- 本質的に、高次元(1万人の客?)を相手にするため、打ち切りをしても数値的に安定した解が得られるか不明。

解決策

- Aのinverse operatorの陽表現が得られている。
- Theorem 3で平均客数を求める式が得られている。 $\pi(1,y)$ は既知。

$$E[M] = \frac{\rho}{1-\rho} + \frac{1}{\sigma(1-\rho)} \left\{ \sigma^2 \rho^2 + \frac{1}{2} [D''(1)\pi(1)](1) - \sigma [D'(1)A^{-1}\pi(0)](1) - [D'(1)A^{-1}D'(1)\pi(1)](1) \right\}$$



$\pi(0,y)$ の項を無視する!

Term by term

$$E[M] = \frac{\rho}{1-\rho} + \frac{1}{\sigma(1-\rho)} \left\{ \sigma^2 \rho^2 + \frac{1}{2} [D''(1)\pi(1)](1) \right. \\ \left. - \sigma [D'(1)A^{-1}\pi(0)](1) - [D'(1)A^{-1}D'(1)\pi(1)](1) \right\}$$

A,D, π の性質より

$$[D''(1)\pi(1)](1) = \lambda \left(\frac{\lambda}{\mu} \right)^2$$

$$[D'(1)A^{-1}\pi(0)](1) = \left(\frac{\lambda}{\mu} \right) \left[(1-\rho) \left\{ \lambda + \frac{3}{2} \left(\frac{\lambda}{\mu} \right) \right\} - \pi_y(0,1) \right]$$

$$[D'(1)A^{-1}D'(1)\pi(1)](1) = \lambda(\lambda-1) \left(\frac{\lambda}{\mu} \right)^2$$

$$0 \leq \pi_y(0,1) = E[L(t)1_{(M(t)=0)}] \leq E[L(t)] = \lambda/\mu.$$



Bounds of E[M]

Theorem 4

- The bounds of mean queue length $E[M]$ can be found by

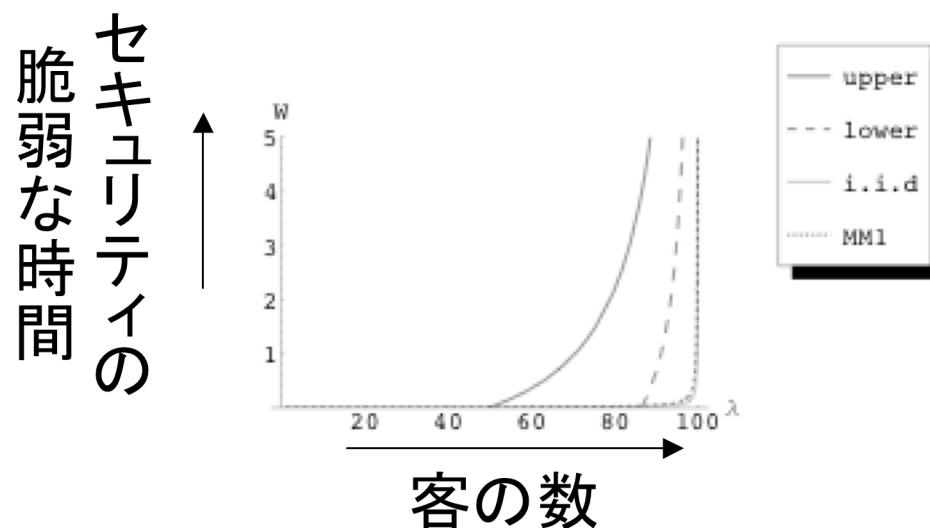
$$(35) \quad E[M] \leq \frac{\rho}{1-\rho} + \frac{1}{2(1-\rho)} \left\{ \sigma\rho^2 + (1-3\rho) \left(\frac{\lambda}{\mu} \right)^2 + \rho \left(\frac{\lambda}{\mu} \right) \right\},$$

and

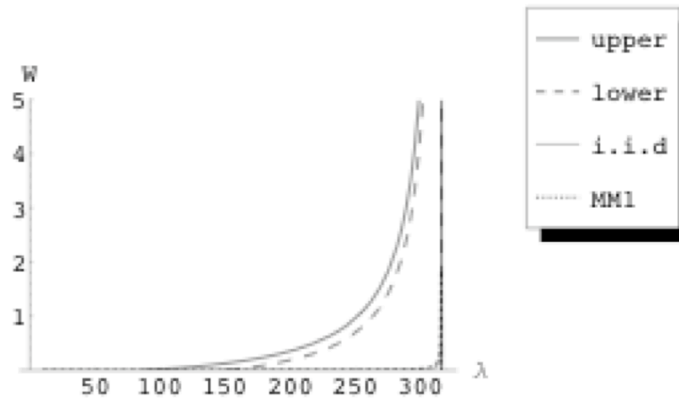
$$(36) \quad E[M] \geq \frac{\rho}{1-\rho} + \frac{1}{2(1-\rho)} \left\{ \sigma\rho^2 + 3(1-\rho) \left(\frac{\lambda}{\mu} \right)^2 + \rho \left(\frac{\lambda}{\mu} \right) \right\}.$$

Upper bound and lower bound of $E[W]$ when $\mu = 1$

- In the following, we fixed the service rate of the encryptions to be $\sigma = 10,000$.
- The lines “upper” and “lower” are the upper and lower bounds of mean waiting time respectively. The line “i.i.d” corresponds to the batch arrival M/M/1 queue where the batch size is independent and identically to Poisson distribution with its mean λ/μ .



Upper bound and lower bound of $E[W]$ when $\mu = 10$.



Upper bound and lower bound of $E[W]$ when $\mu = 100$.

